

**Детектирование инфракрасного излучения
посредством перевода его в видимый диапазон**

*В. П. Клюев, Д. И. Маш, В. В. Морозов,
Д. Н. Никогосян, А. Н. Ораевский*

В последнее время появилось значительное количество работ, посвященных детектированию инфракрасного излучения средствами нелинейной оптики¹⁻⁷. Здесь под детектированием подразумевается преобразование инфракрасного излучения в видимое при оптическом смещении его в нелинейном кристалле с мощным лазерным излучением накачки. Образующаяся суммарная или разностная частота несет в себе полную информацию о спектре инфракрасного излучения, а зарегистрировать ее много проще, чем исходный ИК-спектр.

Как известно, в процессе образования суммарной частоты выполняется следующее частотное соотношение (закон сохранения энергии)

$$\omega_1 + \omega_2 = \omega_3 \quad (1)$$

где

ω_1 – частота детектируемого инфракрасного излучения (сигнал)

ω_2 – частота мощного лазерного излучения (накачка)

ω_3 – суммарная частота

Взаимодействие двух волн в нелинейном кристалле идет достаточно эффективно только по тем направлениям, по которым выполняется закон сохранения импульсов (так называемые направления синхронизма)

$$\vec{k}_1 + \vec{k}_2 = \vec{k}_3, \quad (2)$$

где $\vec{k}_1 = \frac{\omega_1 n_1}{c} \vec{s}_1$ - волновой вектор сигнала,
 $\vec{k}_2 = \frac{\omega_2 n_2}{c} \vec{s}_2$ - волновой вектор накачки,
 $\vec{k}_3 = \frac{\omega_3 n_3}{c} \vec{s}_3$ - суммарный волновой вектор.

Удовлетворить условию (2) можно, подбирая соответствующим образом частоты и поляризацию взаимодействующих волн, направления их распространения в нелинейной среде, а также меняя оптические свойства самой среды. Основные теоретические соотношения приведены в работах^{1,8}.

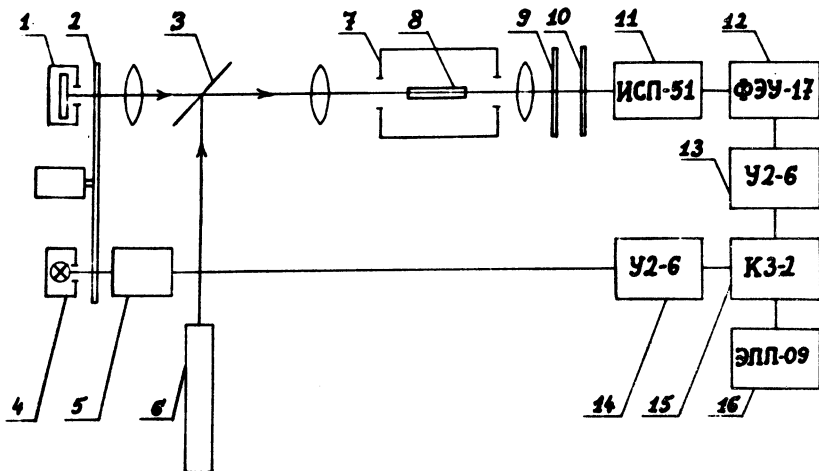
Нами была экспериментально исследована возможность детектирования инфракрасного излучения весьма малой интенсивности. В отличие от других работ, применялся широкополосный источник инфракрасного излучения - глобар. Этим автоматически обеспечивалось выполнение условий синхронизма для какой-нибудь инфракрасной длины волны.

Блок-схема экспериментальной установки приведена на рис. 1. Инфракрасное излучение глобара, проходящее через германиевую пластинку, и зеленое излучение аргонового лазера, отражённое от пластиинки, смешивались в нелинейном кристалле LiNbO_3 . Спектр излучения глобара близок к спектру излучения абсолютно чёрного тела с $T = 1700^\circ\text{K}$, максимум излучения приходится на длину волны $\lambda = 2\text{мкм}$. Аргоновый лазер генерировал излучение мощностью порядка 200 мвт на $\lambda_2 = 4880 \text{ \AA}$. Одночастотность достигалась соответствующим подбором зеркал.

Попадающие в кристалл волны имели одну и ту же поляризацию, соответствующую поляризации обыкновенной волны в кристалле; излучение на суммарной частоте представляло собой необыкновенную волну. Фазовый синхронизм взаимодействующих волн достигался под углом $\theta = 90^\circ$ к оптической оси кристалла. Это направление выгодно потому, что при этом устраняется эффект ограничения выходной мощности, связанный с существованием двойной рефракции⁹. Кристалл LiNbO_3

помещался в термостат, в котором поддерживалась температура $41,6^{\circ}\text{C}$ с точностью до $0,1^{\circ}\text{C}$.

Излучение суммарной частоты выделялось системой фильтров и регистрировалось ФЭУ. Так как в спект-



Р и с. 1. Схема установки.

1 – глобар, 2 – модулятор, 3 – германиевая пластинка, 4 – сигнальная лампочка, 5 – фотодиод, 6 – аргоновый лазер, 7 – термостат, 8 – кристалл, 9 – интерференционный фильтр, 10 – поляризатор, 11 – монохроматор, 12 – ФЭУ, 13 – усилитель, 14 – усилитель опорного сигнала, 15 – синхронный детектор, 16 – самописец.

ре аргонового лазера присутствует ряд линий спонтанного излучения, близких по частоте к ожидаемой суммарной, то был принят ряд мер по ослаблению спонтанного излучения. Луч аргонового лазера проходил значительное расстояние (~ 10 м), прежде чем попадал в кристалл LiNbO_3 . Вследствие большой расходимости спонтанного излучения этим обеспечивалось существенное его ослабление. Кроме того в эксперименте применялось синхронное детектирование; частота опорного сигнала равнялась 370 гц.

Обнаруженный суммарный эффект появляется в полосе длии воли шириной 7 \AA с центром на $\theta = 4067 \text{ \AA}$ (рис. 2), что соответствует детектированию полосы инфракрасного излучения в диапазоне $2,43 + 2,45$. Рассчитанный с использованием данных ¹⁰ угол фазового синхронизма для этих волн и температуры $41,6^\circ\text{C}$ составляет 83° . Так как показатели преломления

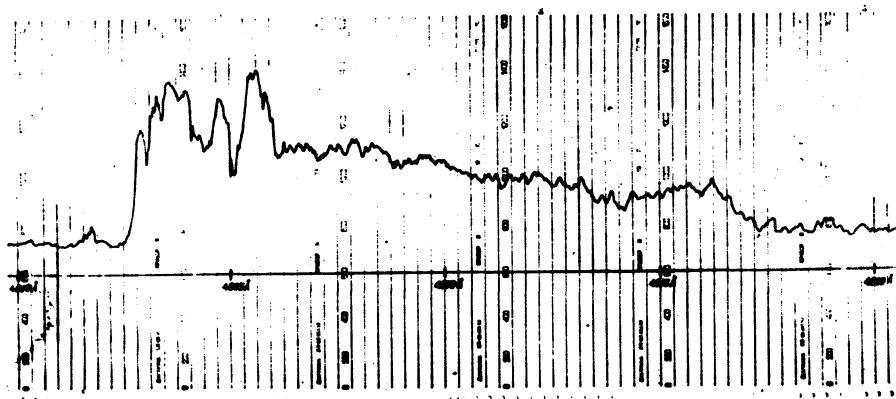


Рис. 2. Спектр излучения суммарной частоты.

LiNbO_3 меняются весьма плавно в области углов, близких к $\theta = 90^\circ$, то можно считать, что использованные нами кристаллы вполне соответствуют данным, приведенным в ¹⁰.

Некоторая нестабильность получаемых результатов объясняется, по-видимому, изменением показателей преломления ниобата лития под действием мощного лазерного излучения (эффект оптических искажений – *optical damage*). Как показано в ¹¹, под действием излучения аргонового лазера показатель преломления необыкновенного луча LiNbO_3 может уменьшиться на 10^{-3} своей величины, что и приводит в нашем случае к изменению детектируемой частоты инфракрасного излучения. Работа продолжается в направ-

лении устранения эффекта оптических искажений, оптимизации процесса инфракрасного детектирования¹² и перехода к одномодовой накачке. Чувствительность данной схемы оказалась вполне достаточной для создания нелинейного инфракрасного спектрометра. Вопрос о разрешении такого спектрометра пока остаётся открытым, — нам представляется, что разрешение в 1 Å является вполне реальным.

Авторы считают приятным долгом выразить благодарность Н. Г. Басову за стимулирующий интерес к работе и В. А. Морозову за помощь в проведении эксперимента.

Поступила в редакцию
10 марта 1970 г.

Л и т е р а т у р а

1. Midwinter J.E., Warner J. *J.Appl.Phys.*, 38, 519 (1967).
2. Miller R.C., Nordland W.A. *IEEE J. Quantum Electronics*, QE - 3, 642 (1967).
3. Warner J. *Appl.Phys.Letts*, 12, 222 (1968).
4. Boyd J.D., Bridges T.J., Burkhardt E.J. *IEEE J. Quantum Electronics*, QE - 4, 515 (1968).
5. Jandrud W.B., Boyd J.D. *Optics Commun.*, 1, 187 (1969).
6. Kleinman D.A., Boyd J.D. *J.Appl.Phys.*, 40, 546 (1969).
7. Воронин Э. С., Дивлекеев М. И., Ильинский Ю. А., Соломатин В. С. ЖЭТФ 58, 51 (1970).
8. Kleinman D.A. *Phys. Rev.*, 128, 1761 (1962).
9. Miller R.C., Boyd J.D., Savage A. *Appl.Phys.Letts*, 6, 77 (1965).
10. Hobden M.V., Warner J. *Phys.Letts*, 22, 243 (1966).
11. Chen F.S. *J. Appl. Phys.*, 40, 3389 (1969).
12. Boyd J.D., Kleinman D.A. *J.Appl.Phys.*, 39, 3597 (1968).